http://www.journals.zju.edu.cn/med

磷酸化 JAK 和磷酸化 ERK 及 CyclinD1 蛋白表达 与舌鳞状细胞癌的关系

李松英1,戴 杰2,胡济安1

(1. 浙江大学医学院 附属口腔医院病理科,浙江 杭州 310031; 2. 台州医院口腔科,浙江 临海 317000)

[摘 要] 目的:探讨磷酸化 JAK 和磷酸化 ERK 及 Cyclin D1 蛋白在舌鳞状细胞癌 (SCC)发生、发展中的作用及其表达的相互关系。方法:应用免疫组织化学技术,检测舌鳞状细胞癌 30 例,正常口腔舌黏膜组织 20 例,轻度上皮异常增生 10 例,中-重度上皮异常增生 20 例组织中磷酸化 JAK 和ERK 及 Cyclin D1 蛋白的表达情况。结果:与正常口腔舌黏膜相比,pJAK 在舌鳞状细胞癌组织和上皮异常增生组织中阳性率明显增高 ($\chi^2=37.54$, P<0.01),且舌 SCC 中pJAK 的阳性率又明显高于上皮异常增生($\chi^2=12.28$, P<0.05)。中-低分化鳞状细胞癌中pJAK 的染色强度较高分化鳞状细胞癌显著升高 ($\chi^2=6.83$, P<0.05)。pERK 在正常口腔舌黏膜上皮、SCC 组织和上皮异常增生组织中的阳性率差异无显著性。在 SCC 中,pJAK 和 Cyclin D1 的阳性强度呈正相关 ($r_s=0.619$, P<0.05)。pERK 和 Cyclin D1 的阳性强度无相关性 ($r_s=0.231$, P>0.05)。结论:SCC 的发生与发展可能与pJAK 信号传导途径诱导 Cyclin D1 过度表达,从而促使该肿瘤细胞维持高增殖状态有关。ERK 信号途径在舌鳞状细胞癌中可能不是主要的致瘤途径。

[关键词] 癌,鳞状细胞/病理学; 舌肿瘤/病理学; 磷酸化JAK; 磷酸化ERK; CyclinD1蛋白; 舌 鳞状细胞癌

[中图分类号] R 739.86 [文献标识码] A [文章编号] 1008-9292(2007)04-0396-05

Expression of pJAK, pERK and Cyclin D1 proteins in squamous-cell carcinoma of tongue

LI Song-ying, DAI Jie, HU Ji-an (The Affiliated Hospital of Stomatology, College of Medicine, Zhejiang University, Hangzhou 310006, China)

[Abstract] Objective: To investigate the expression of JAK, ERK and Cyclin D proteins in squamous-cell carcinoma of tongue. Methods: The expression of JAK, ERK and Cyclin D1 proteins was determined with SP immunohistochemical method in 30 cases of lingual Squamous cell carcinoma, 20 of normal lingual mucosa, 10 of mild epithelial dysplasia and 20 of severe epithelial dysplasia. Results: The expression of pJAK in lingual squamous-cell carcinoma and epithelial dysplasia was stronger than that of normal lingual mucosa ($\chi^2 = 37.54$, P < 0.01), and the expression of pJAK in lingual squamous-cell carcinoma was significantly higher than that of the epithelial dysplasia ($\chi^2 = 6.83$, P < 0.05). pJAK expression in squamous-cell carcinoma of

收稿日期: 2006-10-25 修回日期: 2007-01-11

作者简介:李松英(1972-),女,硕士研究生,实验师,从事口腔病理方面的研究;E-mail:lsy@zju.edu.cn

low-middle differentiation was stronger than that of high differentiation. There was no significant difference in pERK expression among lingual squamous-cell carcinoma, normal lingual mucosa and epithelial dysplasia. There was a significantly positive correlation between pJAK and Cyclin D1 expression in SCC (r=0.619, P<0.05). There was no significant correlation between the expression of pERK and Cyclin D1 (r=0.231, P>0.05). Conclusion: Over-expression of pJAK and Cyclin D1 may be associated with the occurrence and development of squamous-cell carcinoma of the tongue.

[Key words] Carcinoma, squamous cell/pathol; Tongue neoplasms/pathol; pJAK; pERK; CyclinD1; Lingual squamous-cell carcinoma

[J Zhejiang Univ (Medical Sci), 2007, 36(4): 396-400.]

细胞信号传递和调控异常与肿瘤发生发展 密切相关。细胞外信号调节的激酶(extracellular signal-regulated kinase, 简称 ERK)是 MAPK 的重要成员[1]。ERK 信号传导途径是 目前研究最为彻底的MAPK 通路,蛋白酪氨酸 激酶 JAK/信号传导子和转录激活子 STAT 信 号通路是继 Ras 通路之后出现的又一重要的细 胞因子信号传导通路[2]。这两条通路是两种重 要的信号级联分子,参与细胞生长、分化、分裂 等生理过程,并在细胞恶性转化中起重要作用。 舌鳞状细胞癌(SCC)发病的确切分子机理尚不 清楚。为了阐明舌 SCC 是否象多数肿瘤一样, 也是促生长和抑生长的信号级联分子异常,导 致黏膜细胞的增殖失控和恶性转化? 我们运用 免疫组化法,对舌 SCC 中磷酸化 JAK、磷酸化 ERK 及CyclinD1 蛋白进行检测,并与正常口腔 舌黏膜、上皮异常增生进行比较,以探讨其在舌 SCC 发生发展中的作用。

1 材料和方法

- 1.1 研究对象与分组 本研究选用浙江大学医学院附属口腔医院病理科自1988年至2003年间接收的标本,其中SCC60例,正常口腔舌黏膜组织20例,轻度上皮异常增生10例,中-重度上皮异常增生20例。所有标本经10%福尔马林固定、石蜡包埋,HE 染色。60例SCC组织学类型根据WHO(2005年)肿瘤新分类[3]分为三型:高分化型22例,中分化型15例,低分化型23例。
- 1.2 材料 本研究所用的 pJAK、pERK 及 CyclinD1 单克隆抗体(工作浓度都是1:100)

- 以及SP 试剂盒,均为福州迈新生物技术开发公司提供。将收集到的舌鳞状细胞癌组织和正常口腔舌黏膜、上皮异常增生组织的蜡块,经免疫组化染色SP法,观察JAK、ERK 及CyclinD1的表达情况。
- 1.3 结果判断 pJAK、pERK 及 CyclinD1 染 色细胞的胞核呈棕黄色颗粒状沉积的为阳性 反应。
- **1.4** 统计处理 采用 SSPS 12.0 软件,用 χ²检验。pJAK、pERK 与CyclinD1 蛋白表达之间的 关系采用 Spearson 相关分析。

2 结 果

2.1 pJAK、pERK 在正常口腔舌黏膜上皮中 表现为细胞浆淡黄色着色,部分基底层,副基底 层细胞核染色阳性。在舌SCC 组织和上皮异常 增生组织中,pJAK、pERK 阳性染色多位于细 胞核,集中于分化较低区域。舌 SCC 组织和上 皮中-重度异常增生组织中pJAK 的阳性率分 别为76.7%(46/60)和20.0%(4/20),与正常口 腔舌黏膜相比,pJAK 在舌 SCC 组织和上皮中-重度异常增生组织中阳性率明显增高(χ²= 37.54,P<0.01),且舌SCC中pJAK的阳性率 又明显高于上皮中-重度异常增生(χ²= 12.28,P<0.05)。中-低分化SCC 中pJAK 的染 色强度较高分化 SCC 显著升高($\chi^2 = 6.83, P <$ 0.05)。见表1,图1、2。而pERK 在舌SCC 组织 中阳性率为43.3%。pERK 在正常口腔舌黏膜 上皮、舌 SCC 组织和上皮异常增生组织中的阳 性率差异无显著性(表 2,图 3)。

表1 pJAK 在正常黏膜,上皮异常增生和舌 SCC 中的表达

Table 1 pJAK expression in normal epithelial, dysplasis lesion and SCC

组	别		n		+	++	+++	阳性率/%
正 常 黏 膜 上皮轻度异常增生			30	29	1	0	0	3, 33
上皮中	上皮中-重度异常增生		20	16	4	0	0	20.0*
舌SCC			60	14	18	18	10	76.7* [△]
髙	分	化	22	9	8	5	0	59.1
中	分	化	15	4	5	5	1	73. 3 ▲
低	分	化	23	1	5	8	9	95. 7▲

^{*:}与正常口腔舌黏膜相比, χ^2 =37.54,P<0.01; $^{\triangle}$:与上皮中-重异常增生相比, χ^2 =12.28,P<0.05; $^{\blacktriangle}$:与高分化SCC相比, χ^2 =6.83,P<0.05

表2 pERK 在正常黏膜,上皮异常增生和舌SCC 中的表达

Table 2 pERK expression in normal epithelial, dysplasis lesion and SCC

组别	n	_	+	++	+++	阳性率/%
正 常 黏 膜 上皮轻度异常增生	30	24	.5	1	0	20. 0
上皮中-重度异常增生	20	12	4	3	0	35.0
舌 SCC	60	34	16	9	1	43.3*
高 分 化	22	14	6	2	0	36. 4
中 分 化	15	8	6	1	0	46.7
低 分 化	23	12	4	6	1	47.8

^{*:}与正常口腔黏膜和上皮异常增生相比, $\chi^2=4.258,P>0.05$

- 2. 2 随着 SCC 浸润程度的加深,pJAK 蛋白表达的阳性率增高。浸润黏膜浅层组和浸润肌层组之间比较,pJAK 的阳性率差异有显著性(χ^2 = 14. 915,P<0. 01),而pJAK 的阳性率与肿瘤的大小无关(χ^2 = 2. 874,P>0. 05)。见表 3。
- 2.3 CyclinD1 蛋白在所有正常口腔舌黏膜和上皮异常增生组织中均为阳性,而在 SCC 中CyclinD1 的阳性率为50.0%(30/60)。且中-低分化 SCC 中CyclinD1 的染色阳性率较高分化 SCC 显著升高($\chi^2=8.139$,P<0.05)。见表4,图 4。
- 2.4 在SCC 中,pJAK 和CyclinD1 的阳性强度 呈正相关($r_s = 0.619, P < 0.05$)。pERK 和CyclinD1 的阳性强度无相关性($r_s = 0.231, P > 0.05$)。

表3 舌SCC 中pJAK 的表达与浸润深度和肿瘤大小的关系

Table 3 The relationship between the expression of pJAK and the deep of invasion and the size of carcinoma

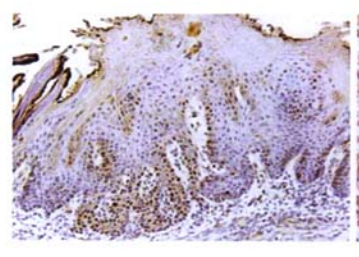
分 组	n	_	+	χ^2	P			
浸润深度								
黏膜浅层	39	14	25					
肌 层	21	0	21	14.915	<0.01			
肿瘤大小								
长径>5 cm	18	3	15					
长径<5 cm	42	11	31	2.874	>0.05			

表4 CyclinD1 在舌SCC 中的表达

Table 4 CyclinD1 expression in normal epithelial, dysplasis lesion and SCC

组别	n	_	+	++	+++	阳性率/%
正 常 黏 膜 上皮轻度异常增生	30	29	0	· 1	0	3. 33
上皮中-重度异常增生	20	18	2	0	0	10.0
舌SCC	60	30	12	9	3	50.0
高 分 化	22	13	6	3	0	40.9
中 分 化	15	7	6	1	1	53.3*
低 分 化	23	10	6	5	. 2	56.5*

^{*:}与舌 SCC 高分化比较, $\chi^2 = 8.139$, P < 0.05



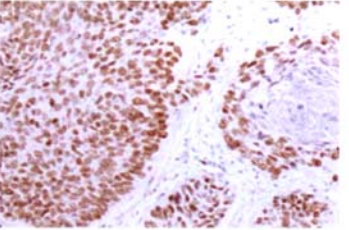
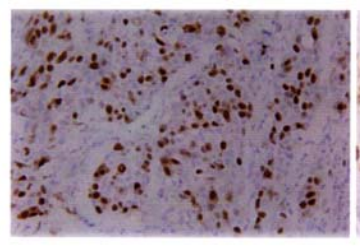


图1 pJAK 在上皮异常增生组 图2 pJAK 在舌SCC 中阳性 织中阳性表达 SP×40

expression in epithelial dysplasis lesion

表达 SP×200

expression in SCC



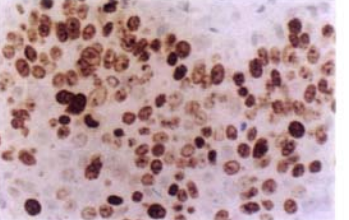


图3 pERK 在舌SCC 中阳性 表达 SP×100

Fig. 3 pERK showed positive expression in SCC

图4 CyclinD1 在舌SCC 中阳 性表达 SP×400

Fig. 4 Positive expression of CyclinD1 in SCC

3 讨论

3.1 JAK 在舌SCC 组织中的表达 JAK 蛋白 酪氨酸激酶是转录信号传导子与激活子家族的 重要成员, JAK 信号传导通路与细胞的增殖、

分化及凋亡密切相关,该通路持 续激活可导致细胞异常增殖和恶 性转化。而 pERK 被激活后转入 细胞核内,活化某些原癌基因,促 使细胞增殖,抑制细胞凋亡[1]。此 通路的核心是由三种蛋白激酶 (MAPKKK, MAPKK, MAPK) 构成的蛋白激酶反应链,不同生 长因子受体的信号通过 ras/ERK Fig. 1 pJAK showed positive Fig. 2 pJAK showed positive 这一共同通路,汇集至 c-fos 和其 他辅助调节基因启动子的主要调 节元件一血清反应元件,调控细 胞生长、发育和细胞间的功能同 步等多种生理及病理过程。本研 究结果显示,与正常口腔舌黏膜 相比,磷酸化JAK 在舌SCC 组织 和上皮异常增生组织中的阳性率 呈明显增高,SCC 中pJAK 的阳 性率又明显高于上皮异常增生组 织,且pJAK 在SCC 中的表达均 为核型,是该信号传导分子的活 化型,活化的JAK 蛋白可能促进 其下游基因转录和表达,进而促 进上皮黏膜细胞的过度增殖和恶 性转化,表明JAK 级联成分的活

> 化异常可能在 SCC 的发生中起重要作用。Wu 等[4]对人类涎腺细胞系(human salivary gland cell line, HSG)的体外研究表明, JAK2和 STAT1 通过激活 IFN-7 而促进涎腺上皮细胞 生长,同时可能对涎腺肿瘤的形成有一定的作

用。临床上舌SCC组织和上皮异常增生组织的生物学行为相差很大,在本研究中,低分化SCC中pJAK的染色强度较高分化SCC显著升高,随着SCC浸润程度的加深,pJAK蛋白的阳性率也增高。推测JAK的过度活化不但在SCC的发生发展中可能起重要作用,并可能与SCC的侵袭性生长潜能密切相关,可作为SCC预后判断的辅助指标之一。

- 3.2 ERK 在舌SCC 组织中的表达 在人结肠癌、乳腺癌和肺癌等多种肿瘤中,均可检测到ERK 表达水平增高^[5]。持续激活的ERK 通路可促进正常细胞向肿瘤表型转化,本研究结果却发现尽管SCC 中pERK 有43.3%的阳性率,但pERK 在正常口腔舌黏膜和表皮的良恶性肿瘤中的阳性率差异无统计学意义,提示pJAK比pERK 在SCC 的发生中起更重要的作用。
- 3.3 CyclinD1 在舌 SCC 组织中的表达 在细 胞周期进程中,CyclinD1 作为正性调节因子, 促使细胞完成细胞周期而增殖。CyclinD1 基因 是近几年来提出的重要原癌基因[6],基因蛋白 产物在细胞周期关键限速点 G1-S 转换中起重 要正调控作用,G1→S期间调控点是细胞内外 信号传递,整合汇集到细胞核,对细胞的增殖进 行调控的关键点,该点调控的异常与肿瘤的发 生发展关系密切。与之相关的 Rb、CyclinD1、 p16 等共同组成一条重要的细胞调节通路,该 蛋白通过与细胞周期素依赖激酶 4 结合形成复 合物加快细胞由G1 期进入S期,正调节细胞增 殖周期,关键限速点处正性调节基因 Cyclin D1 的失控表达,引起细胞周期失控,从而引起癌 变。Fukuchi 等[7]报道,在食管癌中CyclinD1的 表达与颈淋巴结转移存在相关性,但是无显著 性差异。
- 3.4 JAK 和ERK 与CyclinD1 在舌SCC 组织中的表达关系 JAK 和ERK 均为CyclinD1 表达的上游基因,所以在头颈部的SCC 中有 JAK 的活化与CyclinD1 蛋白的表达呈正相关,ERK 磷酸化及转人细胞核可诱导CyclinD1 癌基因表达。本研究结果显示,低分化SCC 中CyclinD1 的染色强度较高分化SCC 显著升高,且SCC 中

pJAK 和 CyclinD1 的阳性强度呈正相关,而pERK 和 CyclinD1 的阳性强度未见明显相关性。这提示SCC 的发生与发展可能与pJAK 信号传导途径诱导 CyclinD1 过度表达,从而促使该肿瘤细胞维持高增殖状态有关。ERK 信号途径在舌 SCC 中可能不是主要的致瘤途径。

References .

- [1] REDDY K B, NABHA S M, ATANASKOVA N. Role of MAP kinase in tumor progression and invasion [J]. Cancer Metastasis Rev, 2003, 22 (4):395-403.
- [2] JOHNSON G L, LAPADAT R. Mitogen-activated protein kinase pathways mediated by ERK, JNK, and p38 protein kinases [J]. Science, 2002, 298(6):1 911-1 912.
- [3] EL-NAGGAR A K, HUVOS A G. Adenoid cystic carcinoma. In: Barnes L, Eveson JW, Reichart P, Sidransky D, editors. World Health Organization classification of tumours [J]. Pathology and genetics of head and neck tumours, 2005; 221-222.
- [4] WU A J, CHEN Z J, KAN E C, et al. Interferon -gamma-induced JAK2 and STAT1 signalling in a human salivary gland cell line [J]. J Cell Physiol, 1997, 173(1):110-114.
- [5] EBISUYA M, KONDOH K, NISHIDA E. The duration, magnitude and compartmentalization of ERK MAP kinase activity; mechanisms for providing signaling specificity [J]. J Cell Sci, 2005, 118; 2997-3002.
- [6] JONES C D, DARNELL K H, WARNKE R A, et al. CyclinD1/CyclinD3 ratio by real-time PCR improves specificity for the diagnosis of mantle cell lymphoma [J]. Mol Diagn, 2004, 6:84-89.
- [7] FUKUCHI M, FUKAI Y, KIMURA H, et al. Prolyl isomerase Pin1 expression predicts prognosis in patients with esophageal squamous cell carcinoma and correlates with cyclinD1 expression [J]. Int J Oncol, 2006, 29 (2): 329-334.

「责任编辑 张荣连】